

ПОЛЗУЧЕСТЬ В АЛЬПИЙСКИХ ГЛИНИСТЫХ ФОРМАЦИЯХ

Член-корр. АН АрмССР, проф., докт. техн. наук Г. И. ТЕР-СТЕПАНЯН¹

Реферат. М. Дисли и Э. Рекордон описали своеобразный земляной поток в Вилларбени, в швейцарских Предальпах, и связали его механизм с реологическими свойствами глин. Даётся анализ полученных ими результатов и предлагается расчет оползнового значения динамической вязкости глин по данным инклинометрических наблюдений.

Под таким названием М. Дисли и проф. Э. Рекордон представили Десятому международному конгрессу по механике грунтов и фундаментостроению, состоявшемуся в Стокгольме в 1981 г., превосходную статью о соотношении между реологическими свойствами грунтов и длительным поведением оползней; эта проблема—одна из наиболее важных как в современном оползневедении, так и в реологии грунтов (Dysli, Recordon, 1981).

Из описываемых в статье трех примеров ползучести склонов особый интерес представляет случай своеобразного земляного потока в Вилларбени на северо-восточном склоне фрибурских Предальп (рис. 1). Он развивается на покрытом лесом и пастищами склоне; не имея экономического значения, склон привлек к себе внимание вследствие необычайно высокой скорости смещения масс. По существу, в Вилларбени не происходит типичного оползания, связанного с нарушением равновесия. Движущийся материал является продуктом выветривания и локального обрушения с обрывистых утесов, сложенных оксфордскими мергелями и покрытыми мергелистыми известняками. На рис. 1 утесы не показаны. Этот очень глинистый материал имеет вид вязкой массы, протекающей по узкой ложбине, показанной в верхней части рис. 1, и разливающейся затем на склоне, господствующем над кантональной дорогой. Вязкий глинистый язык, продолжая течь, консолидируется под действием собственного веса, и вязкость его постоянно увеличивается, что ведет к замедлению скорости смещения. Поэтому по его поверхности может протекать другой глинистый язык. Если образующий этот язык материал менее вязок вследствие своего минералогического состава или степени консолидации, чем нижележащий язык, то новый язык может обогнать фронт первого языка. Поэтому вся сползающая масса состоит из вязких языков течения различной длины, расположенных друг над другом.

На оползне была разбита наблюдательная сеть, состоящая из полигонометрических и триангуляционных точек, труб для инклинометрических измерений, установленных в четырех скважинах, и датчиков для определения порового давления, расположенных на различных глубинах и в разных пунктах оползня.

¹ Зав. Лабораторией геомеханики ИГИС АН АрмССР.

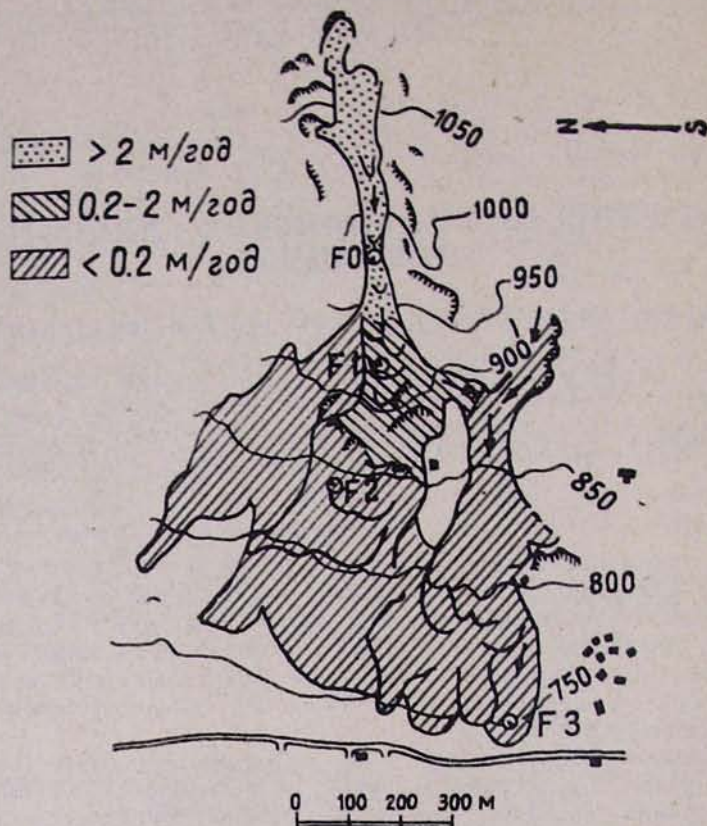


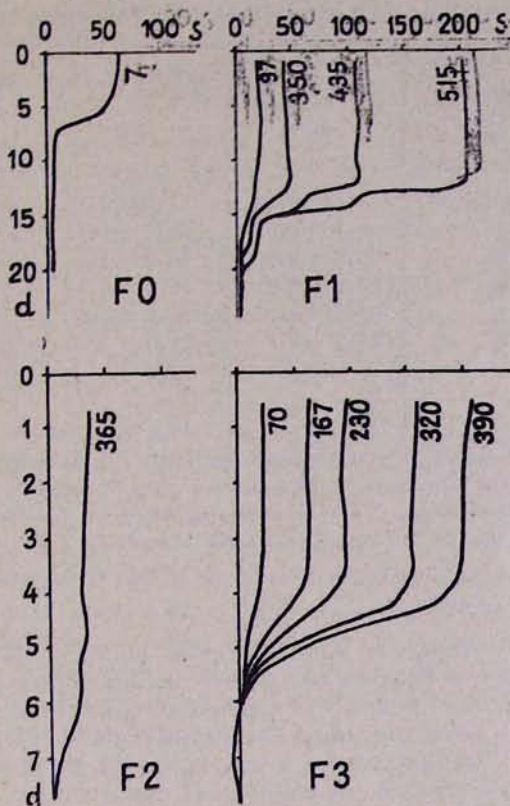
Рис. 1. План оползня в Вилларбени. Знаками показано распределение скоростей смещения за 1978—1980 гг. (по Dysli, Recordon, 1981).

№₁. 1 Վիլարբենի սողանի հատակագիրը: Ստվերագծերով և կերպով ցույց է տված տեղաշարժերի արագության բաշխումը 1978—1980 թվականներին (բառ Dysli, Recordon, 1981).

Fig. 1. Plan of Villarbeney landslide. Distribution of displacement rates for 1978—1980 is shown by signs (after Dysli, Recordon, 1981).

Основные индексационные характеристики грунтов из трех инклинометрических скважин приведены в таблице; расположение скважин показано на рис. 1. Заслуживает внимания, что остаточный угол внутреннего трения φ_R существенно превышает угол β наклона склона к горизонту. Это свидетельствует о влиянии сцепления грунта. Соотношение между углом склона β и углом эффективного внутреннего трения φ' подтверждает сделанный ранее вывод о том, что длинные склоны, в которых пьезометрический уровень находится у поверхности склона, оползают, если тангенс угла наклона превышает половину тангенса угла эффективного внутреннего трения, $\operatorname{tg} \beta \geq 0,5 \operatorname{tg} \varphi'$ (Тер-Степанян, Симонян, 1982). В данном случае у скважины Fl $\operatorname{tg} \beta = 0,249$ и $\operatorname{tg} \varphi' = 0,412$, и следовательно критерий оползания удовлетворяется.

Вид и скорость движения масс показаны на рис. 2. В верховой ложбине, у скважины F0, мощность движущейся массы составляет около 7 м, а ее скорость—около 3 м в год. Поэтому удалось произвести только 2 измерения, так как в дальнейшем труба оказалась ис-



ис. 2. Зависимость между глубиной d в метрах и горизонтальным смещением s в миллиметрах в четырех скважинах по инклинометрическим измерениям; цифры у привычных показывают количество дней от начала наблюдений (по Dysli, Recordon, 1981).

Fig. 2. Relationship between depth d in meters and horizontal displacement s in millimeters according to inclinometer measurements in four boreholes; figures at curves show quantity of days from beginning of observations (after Dysli, Recordon, 1981).

г. 2. Relationship between depth d in meters and horizontal displacement s in millimeters according to inclinometer measurements in four boreholes; figures at curves show quantity of days from beginning of observations (after Dysli, Recordon, 1981).

ориентированной настолько, что инклинометр уже не смог пройти через нее. У скважины F1 ползучесть происходила только в слое толщиной в несколько метров, расположенным на глубине около 15 м. На этом участке до бурения скважины и установки инклинометрических труб скорость смещения поверхностных точек составляла около одного метра в год. На конечном языке земляного потока, в скважине F3, движется вся толща грунта со скоростью около 0,2 м в год. Геодезические измерения на этом участке показали общее смещение 23 м за 54 года.

На наш взгляд, изменение характера движения в средней части склона, обнаруженное скважиной F1, объясняется преобразованием земляного потока. Данный земляной поток относится к типу накопляющихся, так как его нижний отдел не поддается рекой и по мере разрушения земляного потока материал должен аккумулироваться. В земляных потоках этого типа вследствие изменения статических условий изменяются и условия равновесия, и в нижних отделах земляных потоков

Основные индексационные характеристики грунта из Вилларбеней Чишарребиի զրանեարի հիմնական ինդիկատորները

Principal index properties of soils from Villarbenev

Символ— Symbol	Единица— Unit	Скважина— Горизонтальная— Borehole		
		F0*	F1**	F2*
ρ_d	т. м^{-3}	$1,54 \pm 0,10$	$1,46 \pm 0,10$	$1,09 \pm 0,30$
w	%	$30,1 \pm 6,0$	$31,1 \pm 10,1$	$65,0 \pm 35,0$
w_L	%	$40,8 \pm 2,2$	$46,2 \pm 1,1$	$48,9 \pm 15,0$
I_P	%	$22,6 \pm 2,2$	$23,3 \pm 5,6$	$24,4 \pm 7,6$
$<2\mu^{***}$	%	$20,5 \pm 4,0$	$26,0 \pm 8,0$	$20,5 \pm 7,4$
$>0,5 \text{ mm}$	%	$45,2 \pm 7,5$	$25,0 \pm 12,0$	$45,0 \pm 20,0$
φ'	%	—	$22,4$	—
φ_R	%	24	22	—
δ^{***}	%	13	14	12

* Вся оползающая масса; ** на глубине 15–18 м; *** в процентах от фракции 0–0,5 мм; **** угол наклона склона к горизонту.

* Ամբողջ սոլցակող զանգվածը, ** 15-18 մ խորովայն վրա, *** տոկոսներով 0-0,5 մ ժ քահայից, **** լանցի թերթովայն անկումը հորիզոնի նկատմամբ:

* Whole sliding mass; ** on depth from 15 to 18 m; *** in per cent from fraction 0-0.5 mm; **** angle of slope.

время от времени возникают вращательные оползни. Их характерной особенностью является увеличение радиусов вращения последовательных оползней. Впервые такое преобразование земляного потока во вращательные оползни было описано в Хосте, близ Сочи (Тер-Степанян и др., 1968). Деформации, наблюдавшиеся в скважине F1 на глубине 15 м, вероятно, являются вращательной глубинной ползучестью, предшествующей оползанию.

Дисли и Рекордон сопоставляют предложенные теории вязкого поведения грунтов начиная с работы Терцаги, впервые высказавшего такую точку зрения (Terzaghi, 1931), с их действительным поведением; одни авторы рассматривают грунт как твердое тело (конечные деформации за бесконечное время), а другие—как жидкое (бесконечные деформации за бесконечное время).

Применяемые Дисли и Рекордоном выражения «твердое» и «жидкое» состояния грунта, по всей вероятности, имеют в виду подразделение этапов испытания грунтов по признаку затухания или незатухания деформации. Заметим, что такое подразделение можно сделать только на основании весьма длительных наблюдений, измеряемых годами. Интерес представляет произведенный Дисли и Рекордоном анализ литературных данных; некоторые выводы приводятся ниже.

Предел ползучести, иначе предел мобилизации или граница между твердым и жидким состояниями, не равен остаточному сопротивлению сдвигу грунта, за исключением, быть может, переконсолидированных грунтов, в которых область жидкого состояния, заключенная между остаточным сопротивлением и пределом ползучести, очень широка. Модели типа Бингема с пределом ползучести, равным остаточному сопротивлению грунта, на первый взгляд очень привлекательные (Уен, 1969), не являются всеобще признанными.

Некоторые опыты показали, что при постоянном во времени тензоре напряжений деформации в области до предела мобилизации являются линейной функцией логарифма времени; это касается как объемной деформации, так и деформации перекашивания. Другие опыты

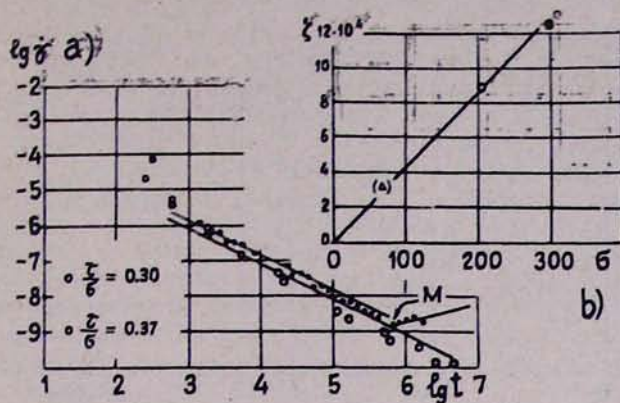


Рис. 3. Результаты испытаний на ползучесть грунта из скважины F1, проведенных на приборе прямого сдвига: а) зависимость между логарифмом времени t в секундах и логарифмом скорости ползучести $\dot{\epsilon}$ в 1/секунда; б) зависимость между нормальным напряжением σ в килопаскалях и статической вязкостью ζ в килопаскалях (по Dysli, Recordon, 1981).

Fig. 3. F1 բորաքանչեցից վեցրած գրւմափ սոլֆերի արդյունքները պարզ սահթի սարքում.
ա) կապը t ժամանակի (վարկաներով) և $\dot{\epsilon}$ սոլդի արագության (1/վրկ) լոգարիթմների
միջև. բ) կախվածությունը σ նորմալ ճնշման (կՊա) և ζ ստատիկական մածուցիկու-
թյան (կՊա) միջև (ըստ Dysli, Recordon, 1981):

Fig. 3. Results of creep tests of soil from borehole F1 carried out in direct shear device. a) relationship between logarithms of time t in seconds and creep rate $\dot{\epsilon}$ in 1/sec; b) relationship between normal stress σ in kPa and static viscosity ζ in kPa (after Dysli, Recordon, 1981).

показали, что линейной функцией логарифма времени является скорость деформации и постоянные этой функции пропорциональны тензору напряжений ($\lg \dot{\epsilon} = C_1 + C_2 \lg t$, где C_1 —функция тензора напряжений и C_2 —постоянная). Наши опыты, как известно, показали, что линейная функция связывает именно скорость деформации и логарифм времени (Тер-Степанян, 1976); в некоторых случаях возможна также связь первого типа. Этот вопрос заслуживает изучения.

Определение предела мобилизации было произведено в очень различных условиях деформирования (простое кручение, трехосное кручение, прямой сдвиг и др.) и дренирования и при различных значениях степени консолидации, перемятия; синтез полученных результатов рискован. К тому же трудно сказать, является ли этот предел одниним и тем же для всех тензоров и траекторий напряжений.

Дисли и Рекордон отмечают, что большинство исследователей пришло к выводу об очень большом ускорении деформации после предела мобилизации и что исключение составляют опыты Тер-Степаняна (1976), которые позволяют количественно несколько лучше определить ползучесть. Они также указывают на большие преимущества применения понятия статической вязкости, равной отношению динамической вязкости ко времени.

Образцы грунта, полученные из оползня Вилларбени, были испытаны на ползучесть на приборе прямого сдвига фирмы ГЕОНОР Н12 и на кольцевом приборе, сконструированном Дисли и Рекордоном. Кольцевой прибор имел следующие характеристики: средний радиус вращения канала 130 мм, ширина канала 60 мм, глубина канала 50 мм,

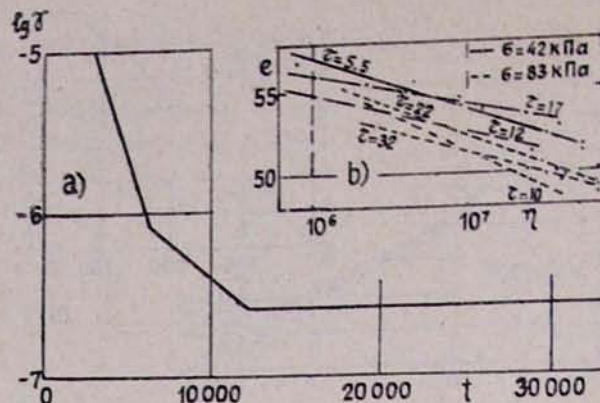


Рис. 4. Результаты испытаний на ползучесть грунта из скважины F0, проведенных на вращательном приборе: а) зависимость между временем t в секундах и логарифмом скорости ползучести $\dot{\gamma}$ в 1/секунда, при $\tau/\sigma=0,27$ (сглаженная кривая наблюдений); б) зависимость между динамической вязкостью η в килопаскаль·секундах и коэффициентом пористости e (по Dysli, Recordon, 1981).

Աղյ. 4. F0 նայտակցիկ վեցշաբ գրումի սողի փոքրերի արդյունքներն օպակաձև սահմանակի (վայրկաններով) սողի արագության ($1/\text{վրկ}$) լուսաբիմերի $\tau/\sigma=0,27$ պահին (ζ արթեցված դիտարկման կարգին), բ) կախականությունը η գինամեկական մածուցիկության (կառ. վայրկաններով) և e ծակոտիկնության զործակցի (բառ. Dysli, Recordon, 1981):

Fig. 4. Results of creep tests of soil from borehole F0 carried out in ring shear device. a) relationship between time t in seconds and logarithm of creep rate $\dot{\gamma}$ in 1/sec at $\tau/\sigma=0,27$ (smoothed observation curve); b) relationship between dynamic viscosity η in kPa, sec and void ratio e (after Dysli, Recordon, 1981).

наибольшее вертикальное давление 800 кПа, скорость вращения определяется усилием, передаваемым ступенями от электронного устройства и мотора; свободное перекашивание в пределах высоты образца, т. е. отсутствие предопределенной поверхности скольжения; перекашивание измеряется по всей высоте образца с помощью рентгеновского прибора (свинцовые шарики); дополнительное измерение касательных и нормальных усилий с помощью кембриджского прибора, установленного на дне канала и в выступающей части кольца.

Результаты испытаний грунта из скважины на приборе прямого сдвига показаны на рис. 3. Как отмечают Дисли и Рекордон, они подтверждают результаты, полученные некоторыми исследователями, в частности, Тер-Степаняном. Логарифмическое соотношение между временем и скоростью деформации показано на рис. 3, а. Предел мобилизации M был достигнут для опыта при $\tau/\sigma=0,30$; время мобилизации того же порядка, что и в наших опытах ($\lg t \approx 6$). Опыт при $\tau/\sigma=0,37$ не был доведен до предела мобилизации, так как аппаратура не смогла измерить весьма малые скорости деформирования. На рис. 3, б показана зависимость между нормальным напряжением и статической вязкостью; график подтверждает полученное нами линейное соотношение между нормальным давлением и статической вязкостью.

Результаты испытаний на кольцевом приборе показаны на рис. 4. Дисли и Рекордон отмечают, что выяснение сути вопроса оказалось более долгим делом, чем это предполагалось, и что пока могут быть сообщены самые предварительные результаты. Эти результаты относятся к опытам, в которых процессы консолидации и сдвига происходили

ши параллельно, иными словами, вертикальная нагрузка и горизонтальное сдвигающее усилие прилагались одновременно к неконсолидированному образцу грунта. На рис. 4, а показана слаженная зависимость между временем и скоростью перекашивания. График состоит из трех участков: начального, когда наблюдаются очень высокие, быстро снижающиеся скорости деформации; промежуточного, когда скорости деформации ниже и падение их также более медленное, и конечного, когда скорость деформации постоянна. Экспериментаторы объясняют поведение грунта в начальной фазе влиянием рассеивания порового давления, которое не измерялось. Но дело, вероятно, не только в порошкообразном давлении. Наши ранние опыты на сдвиг слюдяного порошка (материал, не обладающего сцеплением) показали, что если нормальные и касательные напряжения прилагаются одновременно, то происходят большие деформации, а зависимость между напряжением и деформацией плавная (Тер-Степанян, 1948).

Необходимо подчеркнуть, что результаты реологических испытаний имеют ограниченную ценность при анализе глубинной ползучести старых склонов. Образцы для лабораторных испытаний малы, взятие образца связано с нарушением структуры грунта и существенным изменением напряженного состояния, продолжительность опытов слишком коротка, а геологические условия не могут быть удовлетворительно моделированы. Большим преимуществом обладают полевые методы определений, свободные от этих ограничений.

В письменной дискуссии по докладу Дисли и Рекордона автор обратил внимание на возможность определения полевого значения динамической вязкости грунта, пользуясь результатами инклинометрических наблюдений (Ter-Stepanian, 1982). Этот метод описан в другом месте (Тер-Степанян, Симонян, 1982).

Динамическая вязкость равна

$$\eta = \frac{BT}{\gamma_z} \frac{a' + \sigma'}{A + \rho' z} (z - d_s), \quad (1)$$

где

$$a' = c' \operatorname{ctg} \beta'; A = a' / (g \cos^2 \beta) + \rho_w d_p; B = A \rho \operatorname{tg} \beta / (A + \rho' d_s); \quad (2)$$

z — глубина рассматриваемой площадки от поверхности; d_p — глубина гипсометрического уровня; d_s — глубина нижней границы жесткой зоны; BT — длительность наблюдений за ползучестью и γ_z — угловая деформация ползучести, измеренная инклинометром и соответствующая этому интервалу времени.

На основании приведенных в таблице данных, находя из рис. 2 значение $d_s = 11,7$ м, $T = 515$ дней = $4,45 \cdot 10^7$ с и $\gamma_z = 0,049$ и принимая $c' = 10$ кПа и $d_p = 0$, из ур. (1) было установлено, что приближенное значение динамической вязкости грунта с глубины $z = 15$ м является $\eta = 2,76 \cdot 10^9$ кПа · с (Ter-Stepanian, 1982). Позже М. Дисли любезно подтвердил предположение, что $c' = 10$ кПа и $d_p = 0$, и сообщил уточненное значение $\gamma_z = 0,061$ (Dysli, 1984). Отсюда получаем из ур. (2) $a' = 24,8$ кПа, $A = 2680 \text{ кг} \cdot \text{м}^{-2}$, $B = 95,7$ кг · м⁻³ и вычисляем по ур. (1) уточненное полевое значение динамической вязкости $\eta = 2,23 \cdot 10^9$ кПа · с. Оно свободно от ограничений, накладываемых масштабным эффектом, влиянием нарушений при взятии образцов испытаний и небольшой длительностью лабораторных исследований.

Автор весьма признателен М. Дисли за сообщенные данные о скорости ползучести оползня в Вилларбени.

ՍՈՂՔԸ ԱԼԳԻԱԿԱՆ ԿԱՎԱՅԻՆ ԶՈՐՄԱՑԻԱՆԵՐՈՒՄ

Անդեման Ս. Դիմին և է. Անկորդոսը նկարագրեցին մի լուրահատուկ հողահոսք Վիլարբենիում՝ զվեցարական նախալավերում, և կատեցին նրա մեխանիզմը կավերի առաջիկական հատկությունների հետ։ Տրվում է նրանց կողմից ստացված արդյունքների վերլուծությունը, և առաջարկվում է դիմանմիկ մածուցիկության դաշտային արժեքի հաշվարկը, ինչպես ինկինոմետրիկ դիտումների վրա։

1981 թ. Ստուկովմում կայացած գրունտաների մէխանիկային և հիմքաշինությանը նվիրված Հմբագգային կոնքնեսում Մ. Դիրիխ և է. Խելորդանը մի հրաշալիք զննուցում ներկայացրին՝ նվիրված գրունտաների ռեղլորդական հատկությունների և սոզանքների երկարատև գարքի փոխարարությանը, որը ժամանակակից սոլզանքագիտության և գրունտաների ռեղլորդակայի կարելուագոյն պրոբլեմներից է: Ծնորրիք շարժման մեջ արագության՝ Վիլարբենիի հողանուրը (Նկ. 1)² առանձնակի հնտաքրքրություն է ներկայացնում: Սոլզացող զանգվածը բաղկացած է մերգելների հողմանարարությաց առաջացած նյութից, որը հոսում է Նկ. 1-ի վերին մասում ներկայացրած նեղ ձերակով և զուրու է հորդում լանջն ի վար բազմաթիվ կավային լեզվակների տեսրով: Ազյուսակում բերված են գրունտաների ինդեքսավորման հիմնական հատկությունները: Գրունտ ներքին շիման մնացորդային անկյունը զգալիորեն գերազանցում է լանջի անկյանը: Լանջի անկյան և ներքին շիման էֆեկտիվ անկյան փոխապակացվածությունը հաստատում է նախկինում արված այն եզրահանգումը, որ զետնի մակերեսութիւնը մոտ պիեզոմետրիկ ճակարդակ ունեցող երկար լանջերը սոլզում են, եթե լանջի անկյան տաճկենար գերազանցում է ներքին շիման էֆեկտիվ պ' անկյան տաճկենուի կեսին, (Տեր-Ստեփանյան, Շնորհան, 1982), $tg\beta \geq 0,5 \ tg\varphi'$. Տվյալ դեպքում F_1 հորատման մոտ $tg\beta = 0,249$ և $tg\varphi' = 0,412$. Հետևաբար, սահեցման շափանիշը բայարարված է:

Զանգվածի շարժման ձևն ու արագությունը տրված են նկ. 2-ում: F0 հորատման մոտ 7 մ/վաստիլլամբ կալվարին զանգվածը սղում է ներ ծորակով մոտ 3 մ/տարի արագությամբ: F1 հորատման մոտ սողրի զոտիք կենացրունակում է մոտ 15 մ/խորության վրա: F3 հորատման մոտ սողրի արագությունը նվազում է մինչև 0,2 մ/տարի:

ՏԵՇ Ե F1 հարաման նմուշները փորձարկվել են GEONOR H12 պարզ և ողակային առհրի սարքերի միջոցով։ Սովոր փորձարկման արգյունները ներկայացված են նկ. 3 և 4-ում։ Պարզ սարքի միջոցով կատարված փորձարկումները (նկ. 3) հաստատում են մորթիլիքացման առհմանի առկայությունը և ստամիկ մածուցիկության ու նորմալ լարման միջև զայրին հարաբերությանը վերաբերող՝ հեղինակի նախկինում առաջ բաշած դրույթը (Տեր-Ստեփանյան, 1976)։ Օգակային սարքի միջոցով կատարված փորձերում (նկ. 4) նորմալ և շոշափող լարումները միաժամանակ են կիրառվել։ Փորձարկման նախանական փուլում (նկ. 4) դիտվել են արագ նվազող բարձր զեֆորմացիաներ։ Դրանք վերապրվել են ծակոտեկնային ճնշման ցրմանը, որը չի շափմէ։ Սա միակ բացատրությունը չէ Թերթաքարի փաշու հնատ (մի նույթ, որ զուրկ է կապակցվածություննեց) նախկինում արված փորձերը ցույց են տվել, որ կը նորմալ և շոշափող լարումները կիրառվում են միաժամանակ, ապա ուսի՞ր զեֆորմացիաները բարձր են լինում, իսկ ճիգ-ճիգ փոխարքարերությունը՝ սահուն (Տեր-Ստեփանյան, 1948)։

Հեղինակը դրավոր մի զիտավեճում (Ter-Stepanian, 1982) ցույց է տվել ի հեկինոնմետրիկ դիտումների արդյունքների վրա՝ հիմնված՝ գրանտի զինամիկ մածոցիկլոպիյան զաշային արժեքների որոշման հարաբերությունը. Որոշման մեթոդը նկարագրված է մեկ այլ զեկուցման մէջ (Ter-Stepanian, Սամոնյան, 1982): Դինամիկ մածոցիկլոպիյանը որոշվում է ընձ. (1)-ից, որտեղ a' . A և B մեծությունները ստացվել են ընձ. (2)-ից, շ-ը քննվող հարթության խորությունն է մակերսից, Ճ-ն պիեզոմետրիկ մակարդակի խորությունն է մակերսից, Ծ-ն գրուման կոչության դուռը ստորին սահմանի խորությունն է, T-ն սորքի դիտումների տևողությունն է, իսկ γ -ն՝ ինկինոնմետրով շափված և այս ժամանակամիջոցին համապատասխանող անկյունային գեֆորմացիան:

¹ ՀԱՅՈՒ ԴԱ ԳԻՍԻ գեռմեխանիկալի լարուատորիայի վարիչ:

² Նկարները, բանաձևերը և աղյուսակը՝ տես էջ 115—121:

Հիմնվելով աղյուսակում ներկայացված տվյալների վրա, նկ. 2-ից ընդունելով, որ $d_s = 11,7 \text{ d}$, $T = 515 \text{ օր} = 4,45 \cdot 10^7 \text{ վ}$ և $\gamma = 0,049$, և նեթաղրելով, որ $C' = 10 \text{ կՊա}$ և $d_p = 0$, բնձ. (1) և (2)-ից դաշնոր որ գրունտի դինամիկ մածուցիկության մոտավոր արժեքը $Z = 15 \text{ մ}$ խորության դեպքում հավասար է $\tau_i = 2,76 \cdot 10^9 \text{ կՊա}$. վ (Ter-Stepanian, 1982). Հետագայում Մ. Դիսլին (Dysli, 1984) սիրով հաստատեց այլ ենթադրությունը, որ $C' = 10 \text{ կՊա}$ և $d_p = 0$ և հաղորդեց հեղինակին ճշտված արժեքը՝ $\tau_i = 0,061$. Այստեղից՝ բնձ. (2)-ից դաշնում ենք, որ $a' = 24,8 \text{ կՊա}$, $A = 2680 \text{ կգ} \text{ մ}^{-2}$, $B = 95,7 \text{ կգ} \text{ մ}^{-3}$ և բնձ. (1)-ից հաշվում ենք դինամիկ մածուցիկության ճշտված դաշտային արժեքը՝ $\tau_i = 2,23 \cdot 10^9 \text{ կՊա}$. վ: Այս դաշտային արժեքը զերծ է սահմանափակումներից՝ պարմանափորված մասշտաբային էֆեկտով, նմուշահանման և փորձարկման ժամանակ խախտման աղդեցությամբ, և լարումասոր ուսումնասիրությունների կարճատևության պահանջով:

Տեղինակը երախտագիտ է Մ. Դիսլիին սովորություն սովոր արագության տրվածները հայտնելու համար:

CREEP IN ALPINE CLAYEY FORMATIONS

GEORGE TER-STEPANIAN¹, Prof., Dr. Sc. (Eng.), Corr. Mem. Armen. Ac. Sc.

Synopsis. M. Dysli and Prof. E. Recordon described a peculiar earthflow at Villarbeney in Swiss Prealps and correlated its mechanism with the rheological properties of clays. Analysis of their results is given and calculation of the field value of the dynamic viscosity of clays based on inclinometric observations is proposed.

M. Dysli and Prof. E. Recordon (1981) presented to the Stockholm Conference on Soil Mechanics an excellent paper on correlation between the rheological properties of soils and the long-term behavior of landslides. This problem is among the most important ones both in the modern science on landslides and in the soil rheology. The case of a peculiar earthflow at Villarbeney (Fig. 1)² is of special interest owing to the extremely high velocity. The sliding mass consists of material produced by weathering of marls flowing through a narrow ravine shown in the upper part of Fig. 1 and pouring out as numerous clay tongues on the slope. The principal index properties of soils are listed in Table. The residual angle of internal friction is considerably higher than the angle of slope to horizontal. Relationship between the angle of slope and effective angle of internal friction confirms the earlier conclusion that the long slopes with the piezometric level at the ground surface will slide if the tangent of the slope angle β exceeds one half of the tangent of the effective angle of internal friction φ' , $\tan \beta > 0.5 \tan \varphi'$ (Ter-Stepanian, Simonian, 1978). In the present instance at the borehole F1 $\tan \beta = 0.249$ and $\tan \varphi' = 0.412$; therefore the criterion of sliding is satisfied.

The form and the velocity of mass movement are shown in Fig. 2. In the narrow ravine at the borehole F0 the clay mass about 7 m in thickness is creeping with a rate 3 m/year approximately. The creeping zone at the borehole F1 is concentrated in a narrow layer situated at a depth of about 15 m. The creep rate at the borehole F3 reduces to 0.2 m/year.

Soil samples from the boreholes F0 and F1 were tested in direct shear device GEONOR H12 and in ring shear apparatus; the results of creep tests are shown in Figs. 3 and 4. Tests with the direct shear device (Fig. 3) confirmed the Author's previous suggestion regarding the existence of the mobilization limit and linear relationship between the normal stress and the static viscosity of the soil (Ter-Stepanian, 1975). In experiments with the ring shear apparatus (Fig. 4, a) the normal and tan-

¹ Head, Laboratory of Geomechanics IGES, Armen. Ac. Sc.

² Figures, Equations and Table see p. 115–121.

ential stresses were applied simultaneously. High quickly decreasing strains were observed in the initial phase of the test (Fig. 4a). This was attributed to the pore pressure dissipation being not measured. This is not the only point. Our early experiments with mica powder (a material having no cohesion) showed that if the normal and shear stresses both are applied simultaneously the shear strains are high and the stress-strain relationship is smooth (Ter-Stepanian, 1936).

The Author has shown in a written discussion (Ter-Stepanian, 1982) the possibility to determine the field value of the dynamic viscosity based on results of inclinometric observations. The method is described in another report (Ter-Stepanian, Simonian, 1978). The dynamic viscosity η is determined from Eq. (1), where values a' , A and B are obtained from Eqs. (2); z is the depth of the plane under consideration from the surface; d_p is the depth of the piezometric level from the surface; d_s is the depth of the lower boundary of rigid zone of the soil; T is the duration of the creep observations and γ_z is the angular deformation measured by inclinometer and corresponding to this time interval.

Based on the data given in Table, accepting the values $d_s=11.7$ m, $T=515$ days = $=4.45 \cdot 10^3$ s and $\gamma_z=0.049$ from Fig. 2, and assuming that $c'=10$ kPa and $d_p=0$, it was found from Eqs. (1) and (2) that the approximate value of the dynamic viscosity of the soil from depth $z=15$ m is equal to $\eta=2.76 \cdot 10^9$ kPa· s (Ter-Stepanian, 1982). Later on M. Dysli (1984) confirmed kindly the assumption that $c'=10$ kPa and $d_p=0$, and communicated the refined value of $\gamma_z=0.061$. Hence we get from Eqs. (2) $a'=24.8$ kPa, $A=2680$ kg·m⁻², $B=95.7$ kg·m⁻³, and calculate from Eq. (1) the improved field value of the dynamic viscosity $\eta=2.23 \cdot 10^9$ kPa· s. This field value of the dynamic viscosity is free from limitations caused by the scale effect, the influence of disturbance when sampling and testing, and due to the little duration of laboratory investigations.

Acknowledgement

The Author is very grateful to M. Disli for information concerning the creep rate of the Villarbeney landslide.

ԳՐԱԿԱՆՈՒԹՅՈՒՆ—ЛITERATURA—REFERENCES

- Ter-Stepanian G. I. 1948. О влиянии формы и расположения частиц на процесс сдвига в грунтах.—Изв. АН АрмССР. Естеств. и техн. науки, т. 1, № 2, с. 167—185.
- Ter-Stepanian G. I. 1976. Исследование ползучести глины при сдвиге.—Проблемы геомеханики, Ереван, № 7, с. 18—49.
- Ter-Stepanian G. I., Симонян С. С. 1982. Применение результатов обратных релогических расчетов к определению устойчивости и деформируемости склонов.—Проблемы геомеханики, Ереван, № 8, с. 75—89.
- Dysli M., Recordon E. 1981. Fluge des formations argileuses Alpines.—Comptes rendus du Dixième Congrès Internationale de Mécanique des Sols et des Travaux de Fondations, Stockholm, v. 3, p. 395—400.
- Dysli M. 1984. Communication personnelle de 19 juillet 1984.
- Ter-Stepanian G. 1936. On the influence of the scale-like shape of clay particles on the process of shear in soils.—Proc. [First] Intern. Conf. Soil Mech. Found. Engg., Harvard Cambridge, Mass., vol. 11, p. 112—116.
- Ter-Stepanian G. 1975. Creep of a clay during shear and its rheological model. Géotechnique, v. 25, no 2, p. 299—320.
- Ter-Stepanian G. 1982. Discussion on Creep in Alpine Clayey Formations. Proc. Tenth Intern. Conf. Soil Mech. Found. Engg., Stockholm, 1981, v. 4, p. 923—924.
- Ter-Stepanian G., Simonian S. S. 1978. Application of results of rheological back analyses for determination of the slope stability and deformability. Proc. Third Intern. Congress Eng. Geol., Madrid, pp. 189—196.
- Terzaghi K. 1931. Static rigidity of plastic clays. Journ. of Rheology vol. 2, no. 3
- Yen B. C. 1969. Stability of slopes undergoing creep deformations. Journ. Soil Mech. Found. Div., ASCE, SM4.